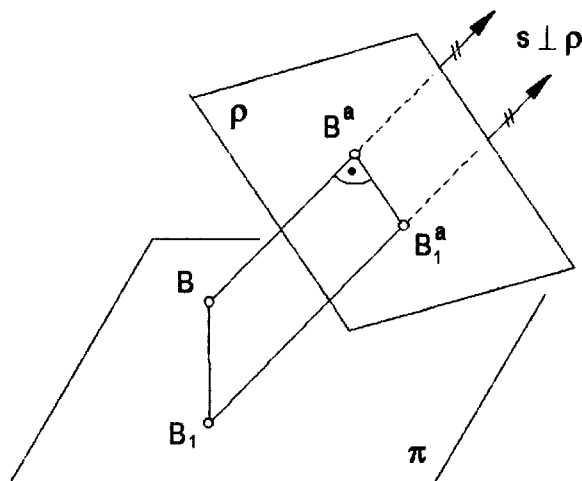
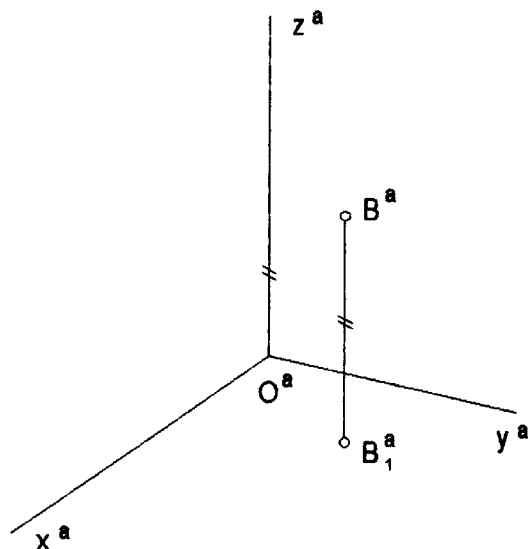


## 5. PRAVOÚHLÁ AXONOMETRIE

Pravoúhlá axonometrie je pravoúhlé promítání na axonometrickou průmětnu  $\rho$ , která má obecnou polohu vzhledem k souřadnicovému trojúhranu  $O, x, y, z$  (3.1), směr promítání je  $s, s \perp \rho$ .



Obr.5.1



Obr.5.2

Uvažujme kartézský souřadnicový systém, bod  $B (B \notin \pi)$  v prostoru, jeho pravoúhlý průmět  $B_1$  (resp.  $B_2, B_3$ ) do půdorysny (resp. nárysny, bokorysny). Bod  $B$  a jeho půdorys  $B_1$  promítáme pravoúhle do axonometrické průmětny, dostaneme axonometrický průmět  $B^a$  bodu  $B$  a axonometrický průmět  $B_1^a$  půdorysu  $B_1$ , obr.5.1. Axonometrickou průmětnu  $\rho$  ztotožníme s nákretnou, obr.5.2.

**Dvojici  $B^a, B_1^a$  nazveme axonometrií bodu  $B$ .**

Je zřejmé, že bodu  $B$  v prostoru je **vzájemně jednoznačně** přiřazena dvojice bodů v axonometrické průmětně a to  $B^a, B_1^a$ , kde  $B^a B_1^a \parallel z^a$ , kde  $z^a$  je axonometrický průmět osy  $z$ .

**Osový kříž  $O^a, x^a, y^a, z^a$**  je tvořen axonometrickými průměty počátku  $O$  a os  $x, y, z$ .

Poznámka. Analogicky můžeme též uvažovat  $B_2^a$  jako axonometrický průmět nárysny nebo  $B_3^a$  jako axonometrický průmět bokorysu bodu  $B$  místo  $B_1^a$ .

Průsečíky souřadnicových os s axonometrickou průmětnou označíme  $X, Y, Z$ ,

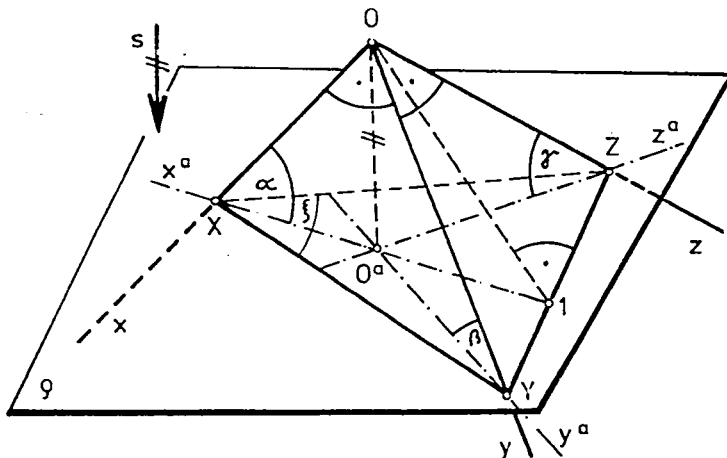
$X \equiv x \cap \rho, Y \equiv y \cap \rho, Z \equiv z \cap \rho$  a úhly  $\alpha, \beta, \gamma$  jsou

$\alpha = \angle x \rho, \beta = \angle y \rho, \gamma = \angle z \rho$ .

**Trojúhelník  $XYZ$  nazveme axonometrickým trojúhelníkem**, viz obrázek 5.3.

Pravoúhlá axonometrie je příkladem pravoúhlého a tím i rovnoběžného promítání, platí pro ni tedy všechny vlastnosti uvedené v 1. kapitole (1.1-1.8), kterou doporučujeme čtenáři prostudovat předem.

Pravoúhlá axonometrie je zvláštním typem obecné axonometrie, platí pro ni všechny vlastnosti uvedené ve 6. kapitole.



Obr.5.3

### 5.1 Vlastnosti pravoúhlé axonometrie

(1) Axonometrické průměty os  $x^a$ ,  $y^a$ ,  $z^a$  jsou výškami axonometrického trojúhelníka  $\triangle XYZ$ , viz obrázek 5.4.

Důkaz

Z obrázku 5.3 je zřejmé, že platí  $YZ \perp OO^a \wedge YZ \perp XO \Rightarrow YZ \perp (XOO^a)$ ,

$YZ \perp (XOO^a) \wedge x^a \subset (XOO^a) \Rightarrow YZ \perp x^a$ .

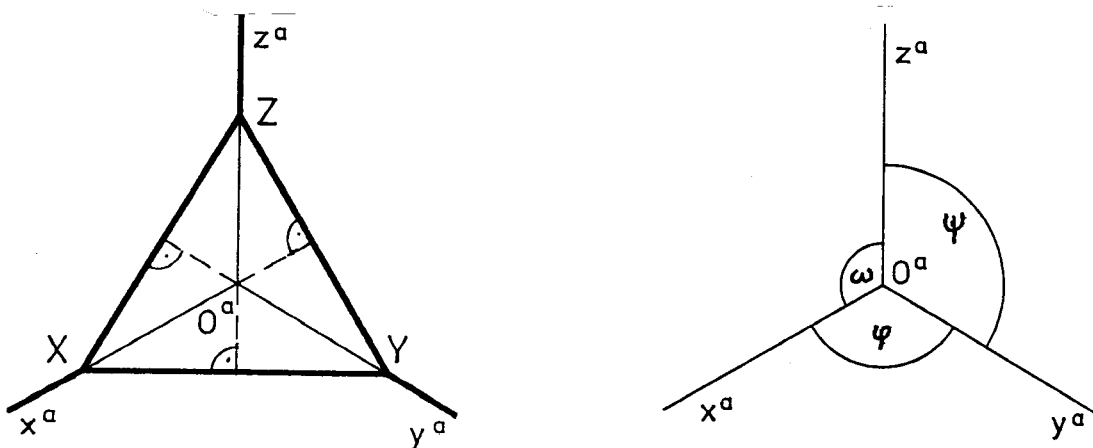
Analogicky dokážeme, že  $XZ \perp y^a$ ,  $XY \perp z^a$ .

(2) Axonometrický trojúhelník je ostroúhlý.

Důkaz. Dokážeme, že úhel  $\xi = \angle YXZ$  je ostrý, viz obrázek 5.3. Z kosinové věty pro trojúhelník  $\triangle XYZ$  plyne  $|ZY|^2 = |XY|^2 + |XZ|^2 - 2|XY||XZ|\cos\xi$ . Z pravoúhlých trojúhelníků  $\triangle XYO$ ,  $\triangle XZO$ ,  $\triangle YZO$  plyne

$|ZY|^2 = |XY|^2 + |XZ|^2 - 2|OX|^2$ . Porovnáním těchto vztahů dostaneme

$|OX|^2 = |XY||XZ|\cos\xi$  a tedy  $\cos\xi > 0$ . Úhel  $\xi$  je úhel v trojúhelníku  $\triangle XYZ$  a musí být ostrý,  $0 < \xi < 90^\circ$ .



Obr.5.4

(3) Úhly  $\varphi, \psi, \omega$  v osovém kříži mezi kladnými částmi os  $x^a, y^a, z^a$  jsou tupé ( $90^\circ < \varphi < 180^\circ$ ), viz obrázek 5.4.

Důkaz plyne z (1), (2).

(4) Poměry zkrácení  $m, n, p$  velikostí úseček na osách  $x, y, z$  jsou dány vztahy  $m = \cos \alpha, n = \cos \beta, p = \cos \gamma$  a platí pro ně  $0 < m < 1, 0 < n < 1, 0 < p < 1$ .  
Důkaz je zřejmý z obrázku 5.3.

(5) Pro poměry zkrácení platí  $m^2 + n^2 + p^2 = 2$ .

Důkaz

$$m^2 + n^2 + p^2 = \cos^2 \alpha + \cos^2 \beta + \cos^2 \gamma = 3 - (\sin^2 \alpha + \sin^2 \beta + \sin^2 \gamma) = 2.$$

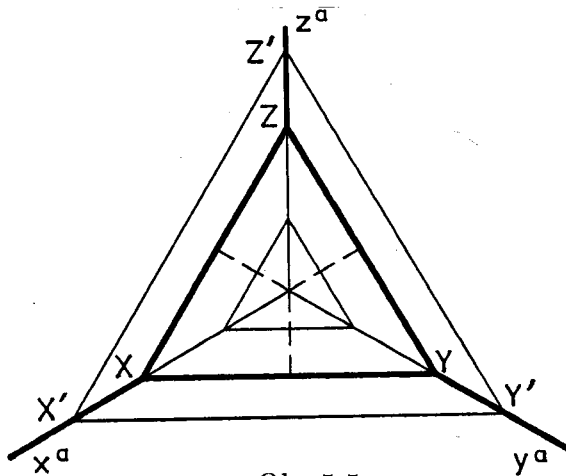
Je zřejmé, že  $\sin \alpha = \cos(\pi/2 - \alpha), \sin \beta = \cos(\pi/2 - \beta), \sin \gamma = \cos(\pi/2 - \gamma)$  jsou směrové kosiny úsečky  $OO^a$ .

## 5.2 Úloha

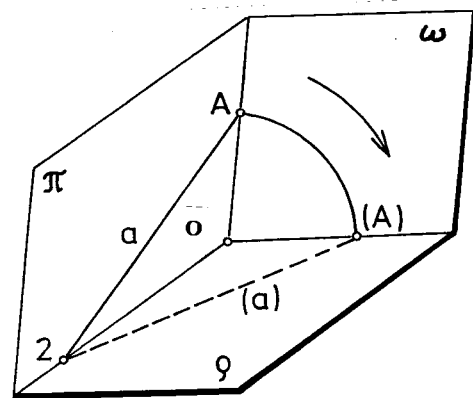
je dán osový kříž  $(O^a; x^a, y^a, z^a)$  tak, že úhly mezi kladnými částmi os  $x^a, y^a, z^a$  jsou tupé. Sestrojte axonometrický trojúhelník  $\triangle XYZ$ , viz obrázek 5.5.

Řešení

1) Zvolíme  $X \in x^a, \quad 2) Y : XY \perp z^a, Y \in y^a, \quad 3) Z : XZ \perp y^a, Z \in z^a$ .



Obr.5.5



Obr.5.6

Poznámka. Ke každému bodu  $X \in x^a$  dostaneme trojúhelník  $\triangle XYZ$  a tím i axonometrickou průmětnu  $\rho$ . Všechny tyto axonometrické průmětny jsou rovnoběžné. Pravoúhlé průměty do rovnoběžných průměten můžeme považovat za shodné.

## 5.3 Věta

**Pravoúhlá axonometrie je určena jednoznačně osovým křížem**

$(O^a; x^a, y^a, z^a)$  splňujícím vlastnost (3) z 5.1.

Důkaz plyne z Pohlkeovy věty (6. kapitola), nebudeme jej provádět.

V následujících úlohách se budeme zabývat konstrukcemi útvarů ležících v souřadnicových nebo hlavních rovinách. Uvažovanou rovinu otočíme do axonometrické průmětny tj. do nákresny, tam konstrukci provedeme a výsledek otočíme zpět. Na náčrtu 5.6 vidíme otáčení roviny  $\pi$  do roviny  $\rho$  kolem osy  $o, o \equiv \pi \cap \rho$ .

**Dráha bodu  $A, A \in \pi$ , je kružnice ležící v rovině  $\omega$  kolmé k ose otáčení  $o$ . Přímka  $a$  se s otočenou přímkou  $(a)$  protíná v pevném bodě 2 na ose otáčení.**

## 5.4 Konstrukce v souřadnicové rovině $(x, y)$

Rovinu  $(x, y)$  otočíme do axonometrické průmětny  $\rho$ , viz obrázek 5.7.

1) Osa otáčení je  $o \equiv XY, o \equiv \pi \cap \rho$ .

2) Otočíme počátek  $O$  do bodu  $(O)$ ,  $(O) : O(O) \perp o$ ,  $(O)$  leží na Thaletově kružnici nad průměrem  $XY$  ( $O \equiv x \cap y, x \perp y$ ), obr.5.7a.

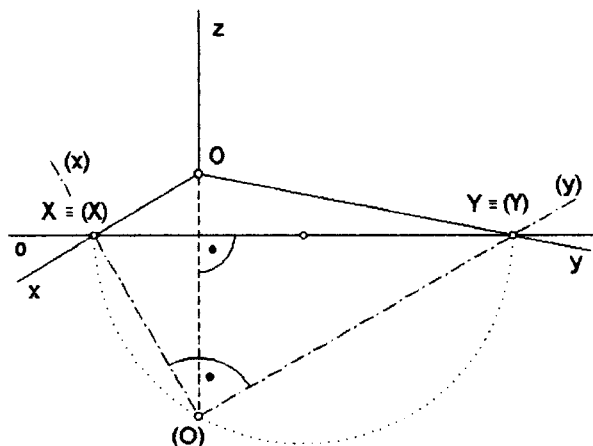
3) Otočíme obecný bod  $A \in (x, y)$  do bodu  $(A)$  tak, že

(A) :  $A(A) \perp o$ ,  $AO \cap o \equiv 1$ ,  $1 \in (A)(O)$ , obr.5.7b.

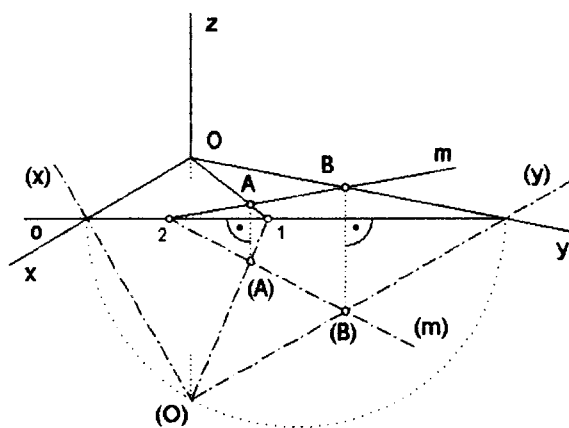
Pro otočený bod (B) máme:  $B(B) \parallel O(O)$ ,  $B \in y \Rightarrow (B) \in (y)$ .

Pomocná přímka  $OA$  protíná osu  $o$  v pevném bodě 1 a rovina otáčení bodu  $A$  se zobrazí jako přímka  $A(A) \perp o$ .

Poznámka. Indexy (a) dále vynecháme.



Obr.5.7a



Obr.5.7b

**Vztahy** mezi otočenými útvary a průměty útvarů, viz obr.5.6 a 5.7

a) **Spojnice otočených bodů a jejich průmětů jsou kolmé k ose otáčení**, což plyne z toho, že leží v rovině otáčení kolmé k ose  $o$  otáčení.

V našem případě je  $A(A) \parallel O(O) \parallel B(B) \parallel z$ .

b) **Přímky  $m, (m)$  se protínají na ose otáčení, nebo jsou s ní rovnoběžné.** Na obrázku 5.7b je  $AB \cap (A)(B) \equiv 2$ ,  $2 \in o$ . Je zřejmé, že body 1, 2 na ose otáčení jsou při pohybu pevné.

Poznámka. Analogicky otočíme další souřadnicové a hlavní roviny do axonometrické průmětny  $\rho$ .

### 5.5 Úloha

Pravoúhlá axonometrie je dána osovým křížem  $O, x, y, z$ . Sestrojte čtverec  $ABCD$  v rovině  $(x, y)$ , je-li dán jeho vrchol  $A$  a střed  $S$ .

Řešení, viz obr.5.8,  $A \in x, S \equiv O$ .

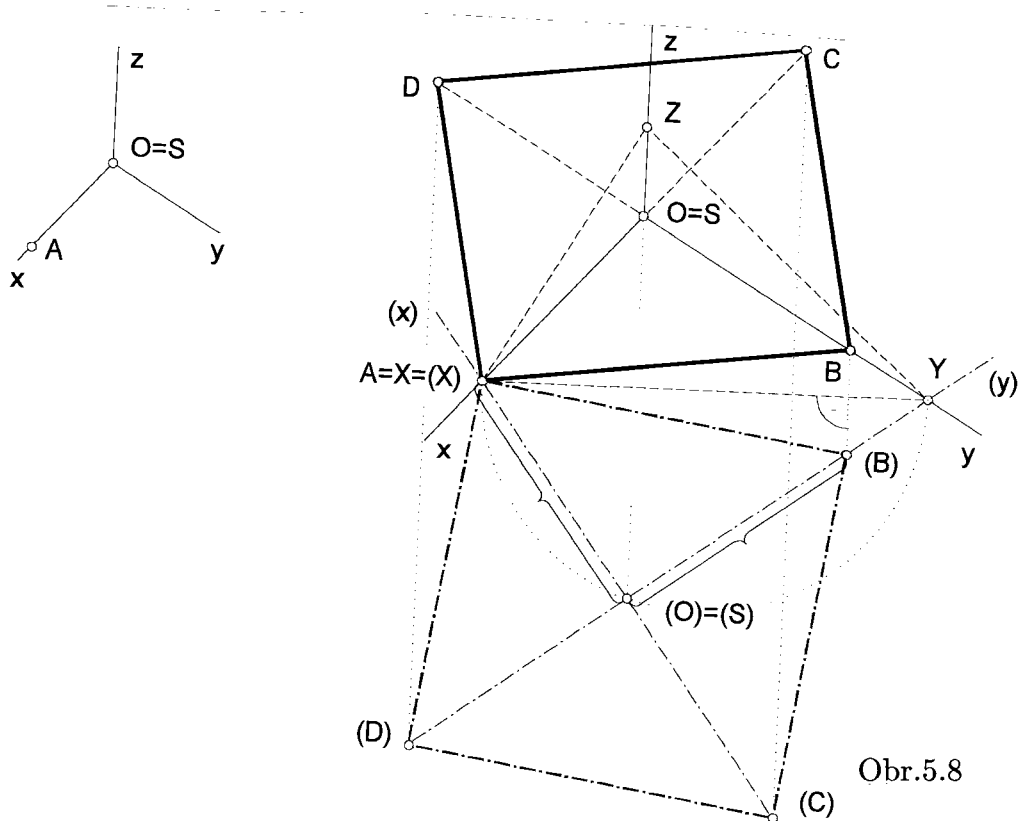
1) Sestrojíme axonometrický  $\triangle XYZ$ , podle 5.2. Zvolíme  $X \equiv A$ .

2) Otočíme rovinu  $(x, y)$  do průmětny  $\rho$  kolem  $XY$ ,

(A) :  $A(A) \perp XY$ ,  $(A) \in (x)$ ,  $(S) \equiv (O)$ , podle 5.4.

3) V otočení sestrojíme čtverec  $(A)(B)(C)(D)$  se středem  $(S)$  a vrcholem  $(A)$ .

4) Bod  $(B)$  otočíme zpět do bodu  $B$ ,  $B : B(B) \perp XY$ ,  $B \in y$ . Podobně zbývající vrcholy čtverce.



Obr.5.8

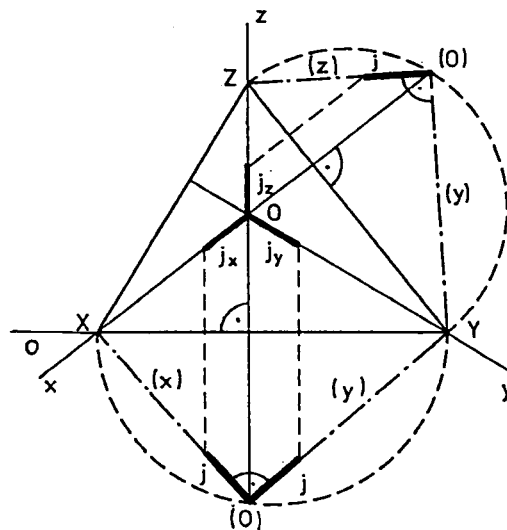
### 5.6 Konstrukce axonometrických jednotek

Axonometrickými jednotkami  $j_x, j_y, j_z$ , rozumíme ax. průměty jednotkových úseček  $j$  ležících na osách  $x, y, z$ , viz 6.2.

Pravouhlá axonometrie je dána axonometrickým trojúhelníkem  $XYZ$ , jednotku  $j$  si zvolíme.

Řešení, viz obr.5.9.

- 1) Osový kříž je tvořen výškami  $\triangle XYZ$ , viz 5.1.
- 2) Otočíme rovinu  $(x, y)$  do průmětny  $\rho$  kolem  $XY$ ,  $O \Rightarrow (O)$ , body  $X, Y$  jsou samodružné (pevné), otočené osy jsou  $(x) \equiv (O)X$ ,  $(y) \equiv (O)Y$ , viz 5.4.
- 3) Podobně otočíme rovinu  $y, z$  a osy:  $(y) \equiv (O)Y$ ,  $(z) \equiv (O)Z$ .
- 4) Jednotku  $j$  nanese na otočené osy  $(x), (y), (z)$  a otočíme zpět do  $j_x, j_y, j_z$ .



Obr.5.9

**5.7 Zobrazení kružnice  $k = (S; r)$  v souřadnicové rovině  $(x, y)$ , viz obrázek 5.10 .**

Řešení

1) Axonometrickým průmětem kružnice je elipsa ( 1.8.6), jejíž hlavní osa  $AB$  je kolmá k axonometrickému průmětu osy  $z$ .

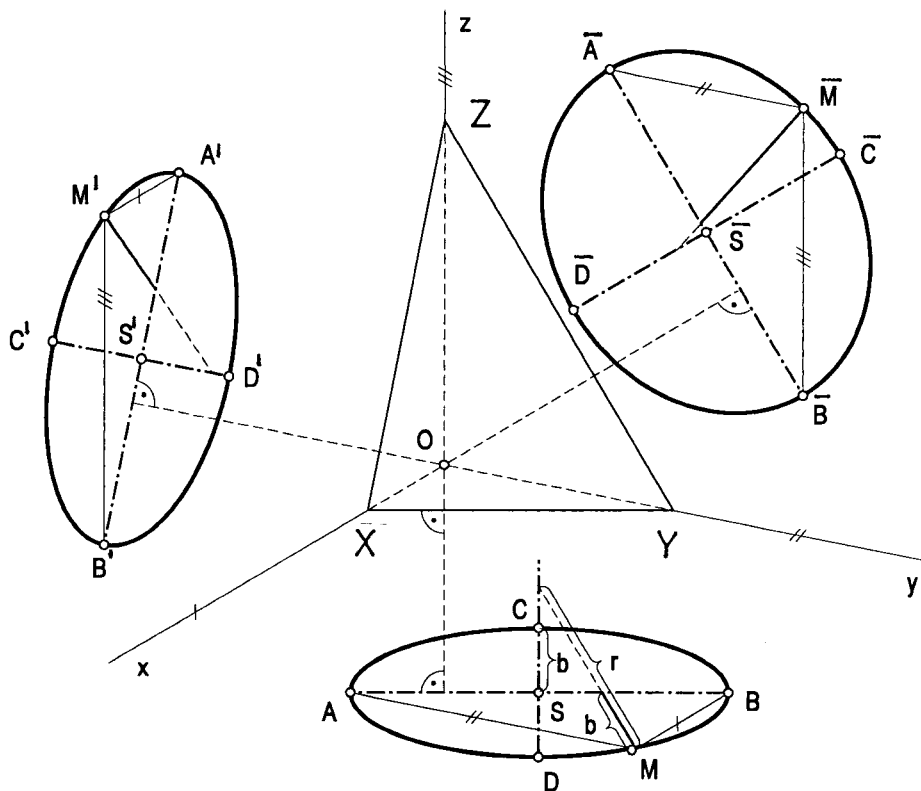
Platí  $AB \perp z$ , protože  $AB \subset \pi$  a  $z \perp \pi$ . V pravoúhlé axonometrii se pravý úhel  $AB \perp z$  zachová, jelikož přímka  $AB$  je rovnoběžná s axonometrickou průmětnou  $\rho = (XYZ)$ .

2) Velikost hlavní osy je  $|AB| = 2r$ .

3) Průmětem bodu  $M$  kružnice  $k$  je bod elipsy ,  $M : MA \parallel y$ ,  $MB \parallel x$ , kde  $M$  je vrchol pravého úhlu nad průměrem  $AB$  a leží tedy na kružnici  $k$  .

4) Vedlejší osu elipsy omezíme proužkovou konstrukcí, viz 2.1.

Poznámka. Z podmínky 1) pro hlavní osu elipsy v  $(x, y)$  plyne  $AB \parallel XY$ .



Obr.5.10

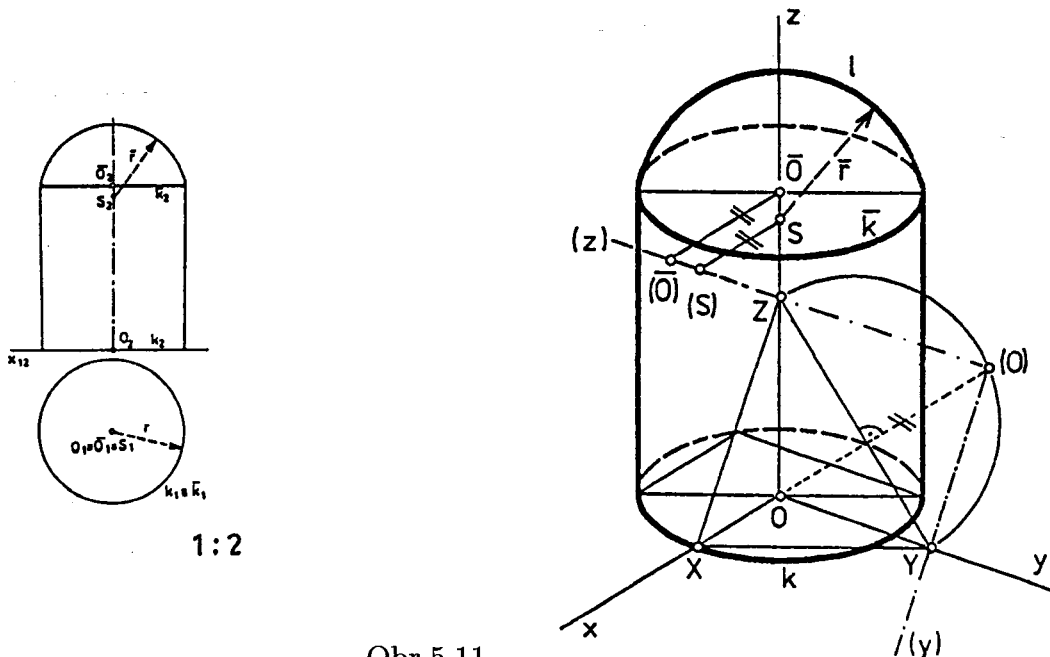
Analogicky zobrazíme kružnici ležící v jiné souřadnicové rovině.

### 5.8 Úloha

V pravoúhlé axonometrii ( $O; x, y, z$ ) zobrazte objekt daný sruženými průměty, viz obrázek 5.11. Umístění zvolte!

Řešení

- 1) Zobrazíme střed  $S$  kulové plochy a střed  $\bar{O}$  kružnice  $\bar{k}$  tzn., že vyneseme výšky na osu  $z$  v otočení  $(y, z)$  do  $\rho$ , viz (5.4).
- 2) Zobrazíme kružnice  $k = (O, r)$ ,  $\bar{k} = (\bar{O}, r)$ ,  $k \subset \pi$ ,  $\bar{k} \subset \bar{\pi}$ ,  $\pi \parallel \bar{\pi}$ , podle (5.7).
- 3) Kulová plocha  $\kappa = (S, \bar{r})$  se zobrazí jako kruh, jehož hraniční kružnice  $l = (S, \bar{r})$  má střed v průmětu středu  $S$  kulové plochy a její poloměr se rovná poloměru kulové plochy  $\kappa = (S, \bar{r})$ , viz obrázek 3.36.



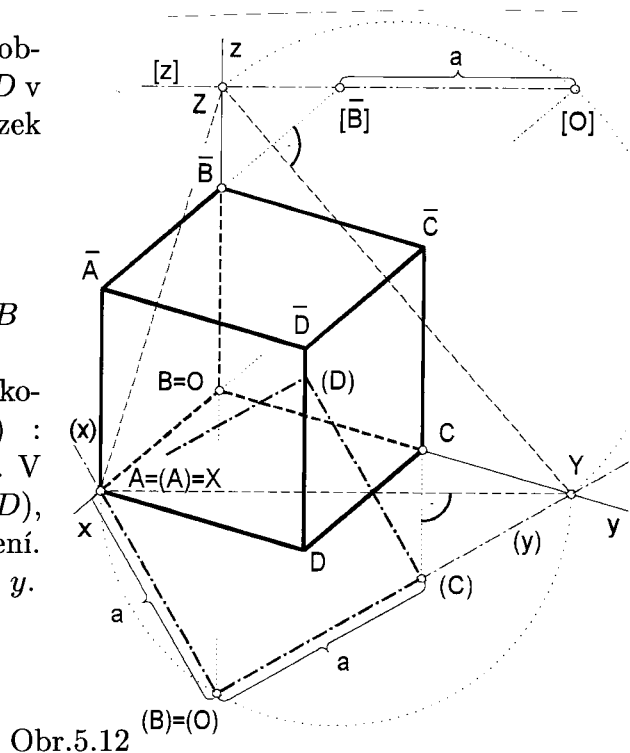
Obr.5.11

### 5.9 Úloha

V pravoúhlé axonometrii ( $O; x, y, z$ ) zobrazte krychli  $ABCD\bar{A}\bar{B}\bar{C}\bar{D}$  se stěnou  $ABCD$  v  $(x, y)$ , znáte-li její hranu  $AB$ , viz obrázek 5.12 ( $A \in x, B \equiv O$ ).

Řešení

- 1) Sestrojíme axonometrický  $\triangle XYZ$ , podle (5.2). Zvolíme  $X \equiv A$ .
- 2) Stěna krychle je čtverec o straně  $AB$  ležící v  $(x, y)$ .
- 3) Otočíme rovinu  $(x, y)$  do roviny  $\rho$  kolem  $XY$ , pro otočené body  $(A)$  a  $(B)$ :  $A \equiv (A) \equiv X, (A) \in (x), (B) \equiv (O)$ . V otočení sestrojíme čtverec  $(A)(B)(C)(D)$ ,  $(C) \in (y)$ , vybereme jedno ze dvou řešení.
- 4)  $(C)$  otočíme zpět  $C(C) \perp XY, C \in y$ .



Obr.5.12

5) V otočení roviny  $(x, z)$  do  $\rho$  kolem  $XZ$  nanese se délku  $a$  hrany na otočenou osu  $(z)$ ,  $|\bar{B}(O)| = a$  a vrchol horní podstavy  $(\bar{B})$ ,  $(\bar{B}) \in (z)$  otočíme zpět do bodu  $\bar{B} \in z$ . Svislé hrany krychle se promítají jako shodné úsečky s  $B\bar{B}$  ( $B \equiv O$ ) a rovnoběžné s osou  $z$ . Volíme  $z_{\bar{B}} > 0$ .

### 5.10 Typy pravoúhlé axonometrie

Označíme-li  $m, n, p$  poměry zkrácení velikostí úseček na osách  $x, y, z$ , viz 5.1(4), dostaneme následující typy pravoúhlé axonometrie.

#### A) Isometrie : $m = n = p$

Z tohoto vztahu a z 5.1 plyne  $\varphi = \psi = \omega = 120^\circ$  a trojúhelník  $\triangle XYZ$  je rovnostranný, viz obrázek 5.13.

Pro poměry zkrácení  $m, n, p$  v isometrii platí  $m = n = p = \sqrt{\frac{2}{3}}$ .

Toto tvrzení vyplývá ze vztahů  $m^2 + n^2 + p^2 = 2$ ,  $m : n : p = 1 : 1 : 1$ .

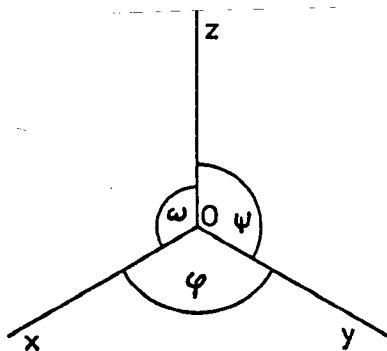
Označíme-li  $k = m = n = p$ ,  $k > 0$ , potom  $3k^2 = 2 \Rightarrow k = \sqrt{\frac{2}{3}}$ .

Z toho plyne, že v pravoúhlé isometrii se všechny souřadnice zkracují v poměru  $\sqrt{\frac{2}{3}}$ . To znamená značné zjednodušení pro zobrazování prostorových objektů.

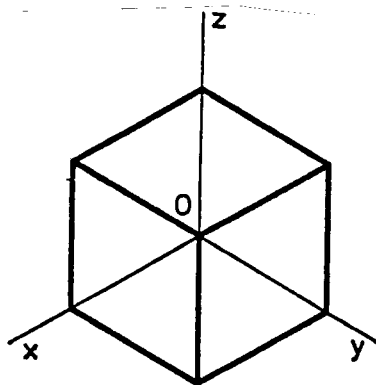
#### A1) Technická isometrie

V praxi zobrazování v isometrii zjednodušíme ještě více a ve směru os vynášíme **nezkrácené souřadnice**. Zobrazujeme tedy útvar podobný a sice  $K$  - násobně zvětšený, kde  $K = \sqrt{\frac{3}{2}}$ . Toto zvětšení nemá vliv na kvalitu zobrazení, pouze pokud chceme v této isometrii zobrazit **kružnici nebo kulovou plochu, je třeba poloměr násobit koeficientem podobnosti  $K = \sqrt{\frac{3}{2}}$** .

Pravoúhlá isometrie se zkreslením  $m = n = p = 1$  se nazývá **technická isometrie** a je velmi oblíbená, přesto, že některé obrázky nejsou vždy nejnázornější, jak snadno nahlédneme z isometrie krychle na obrázku 5.14.



Obr.5.13



Obr.5.14

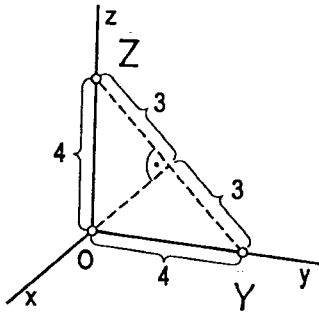
#### B) Dimetrie : $m : n : p = 1 : 2 : 2$ .

Označíme-li  $k = m, 2k = n = p$ , potom dosazením do vztahu  $m^2 + n^2 + p^2 = 2$  dostaneme  $k = \frac{\sqrt{2}}{3}$ . Poměry zkrácení pro tuto dimetrii jsou  $m = \frac{\sqrt{2}}{3}$ ,  $n = p = \frac{2\sqrt{2}}{3}$ .

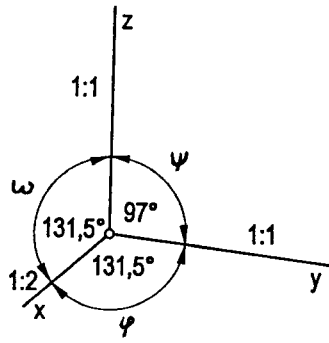
Trojúhelník  $\triangle XYZ$  je rovnostranný a pro úhly  $\varphi, \psi, \omega$  v osovém křížci platí  $\varphi = \omega = 131^\circ 25', \psi = 97^\circ 11'$ .

V praxi nanášíme  $y, z$  - souřadnice nezkrácené,  $x$  - souřadnici poloviční a úhly v osovém křížci  $\varphi, \psi, \omega$  upravíme na hodnoty  $\psi = 97^\circ$ ,  $\varphi = 132^\circ$ ,  $\omega = 131^\circ$ . Zobrazujeme tím podobně jako v technické isometrii útvar  $K$  - násobně větší,  $K = \frac{3}{4}\sqrt{2}$ . Tato zjednodušená dimetrie se nazývá **technická dimetrie**. Konstrukce osového křížce pro technickou dimetrii je zřejmá z obrázku 5.15. Posuďte dimetrii krychle na obrázku 5.16.





Obr.5.15



Obr.5.16

Poznámka

V technické praxi se pod pojmem isometrie (isometry) rozumí pravoúhlá isometrie, tedy nikoliv obecná isometrie z 6.8.

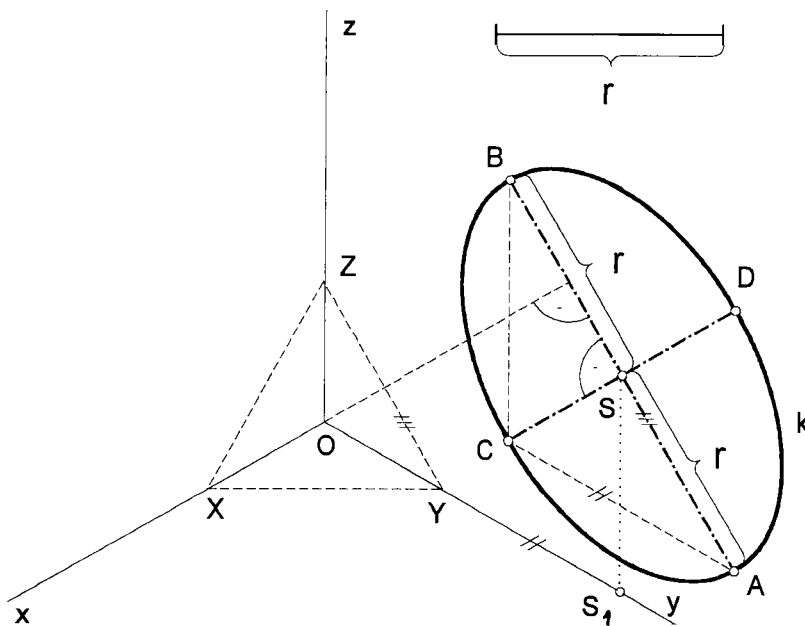
**C) Trimetrie** : poměry zkrácení  $m, n, p$  velikostí úseček na osách  $x, y, z$  jsou navzájem různé, trojúhelník  $\triangle XYZ$  je obecný ostroúhlý, úhly  $\varphi, \psi, \omega$  v osovém křížci jsou navzájem různé.

### 5.11 Úloha - isometrie

V isometrii, dané osovým křížem  $O, x, y, z, \varphi = \psi = \omega = 120^\circ$ , zobrazte kružnici  $k = (S, r)$  v rovině  $(y, z)$ . Je dán střed  $S$  axonometrií  $S, S_1$  ( $S_1 \in y$ ) a poloměr  $r = 3$ . Řešení, viz obr.5.17.

Isometrie kružnice v  $(y, z)$  je elipsa, viz 5.7.

Hlavní osa  $\mathbf{AB} \parallel \mathbf{YZ}$  ( $\mathbf{AB} \perp \mathbf{x}$ ),  $\mathbf{AB} = 2r$ , vedlejší vrchol  $C$  :  $\mathbf{CA} \parallel \mathbf{y}, \mathbf{CS} \perp \mathbf{AB}$ . Osa  $x$  pólí úhel os  $z, y \Rightarrow \mathbf{CB} \parallel \mathbf{z}$ .



Obr.5.17

### 5.12 Úloha - isometrie

V isometrii, dané osovým křížem  $O; x, y, z, \varphi = \psi = \omega = 120^\circ$ , zobrazte polokouli o středu  $S$ , která je dána sdruženými průměty, obr.5.18.

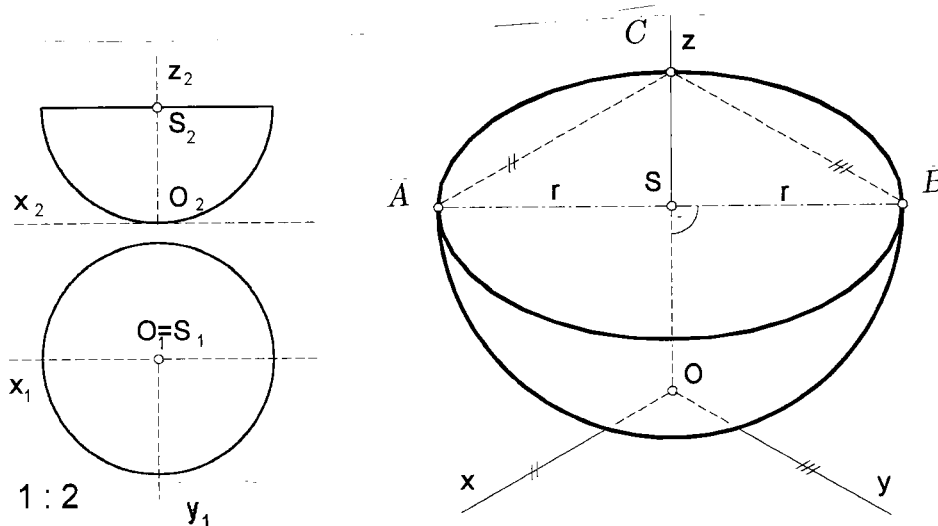
Řešení, viz obr.5.18.

1) Souřadnice středu násobíme koeficientem  $k = \sqrt{2/3} = 0.816$  (přibližně).

2) Isometrie koule je kruh o středu  $S$  a poloměru  $r$  (skutečná velikost).

3) Isometrie kružnice v  $(x, y)$  je elipsa, viz 5.7.

Hlavní osa  $AB \perp z$  ( $AB \parallel XY$ ),  $AB = 2r$ , vedlejší vrchol  $C : CA \parallel x, CS \perp AB$ .



Obr.5.18

### 5.13 Úloha - isometrie

V isometrii, dané osovým křížem  $O; x, y, z, \varphi = \psi = \omega = 120^\circ$ , zobrazte objekt daný sdruženými průměty, obr.5.19.

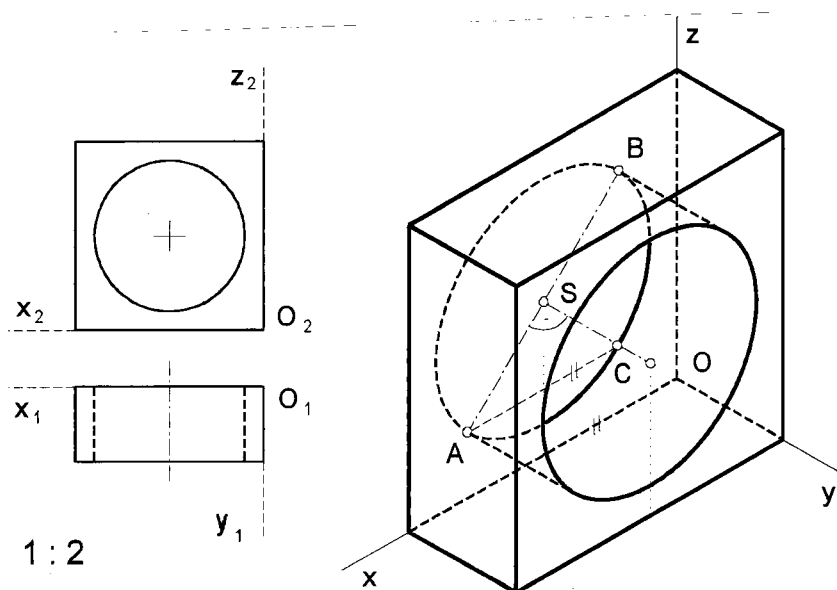
Řešení, viz obr.5.19.

1) Objekt se skládá z kvádru a válcové "díry".

2) Souřadnice důležitých bodů násobíme koeficientem  $k = \sqrt{2/3} = 0.816$  (přibližně).

2) Isometrie kružnice v  $(x, z)$  (rovněž v rovině s ní rovnoběžné) je elipsa.

Hlavní osa elipsy  $AB \perp y$  ( $AB \parallel XZ$ ),  $AB = 2r$ , vedlejší vrchol  $C : CA \parallel x, SC \perp AB$ .



Obr.5.19

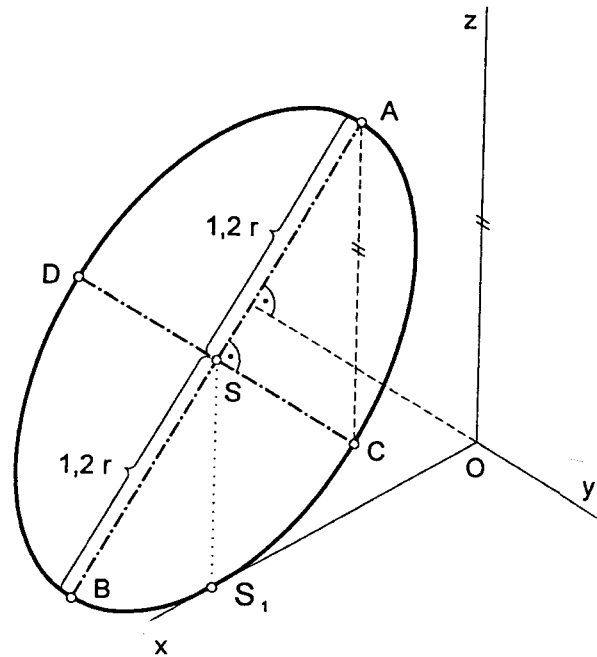
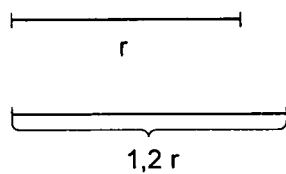
### 5.14 Úloha - technická isometrie

V technické isometrii, dané osovým křížem  $O; x, y, z, \varphi = \psi = \omega = 120^\circ$ , zobrazte v rovině  $(x, z)$  kružnici se středem  $S(4, 0, 3)$  a poloměrem  $r = 3$ .

Řešení, viz obr.5.20.

- 1) Souřadnice středu vyneseme ve skutečné velikosti, podle 5.10(A1).
- 2) Technická isometrie kružnice je elipsa. Hlavní osa  $AB$ :

$AB \perp y$  ( $AB \parallel XZ$ ),  $|AB| = K2r$ , násobíme ji koeficientem  $K = \sqrt{3/2} = 1.2$  (přibližně). Vedlejší vrchol elipsy  $C$ :  $CA \parallel z, CS \perp AB$ .



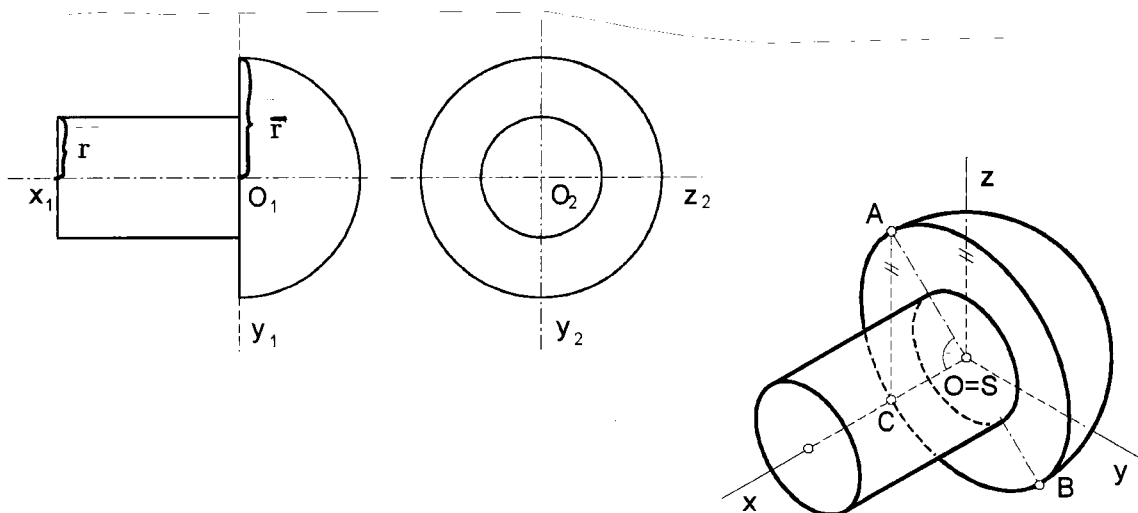
Obr.5.20

### 5.15 Úloha-technická isometrie

V technické isometrii, dané osovým křížem  $O; x, y, z, \varphi = \psi = \omega = 120^\circ$ , zobrazte rotační objekt daný sdruženými průměty, obr.5.21.

Řešení, viz obr.5.21.

- 1) Objekt se skládá z polokoule a rotačního válce, souřadnice důležitých bodů vyneseme ve skutečné velikosti.
- 2) Technická isometrie koule je kruh o středu  $S$  a poloměru  $K \bar{r}$ ,  $K = \sqrt{3/2}$ .
- 3) Technická isometrie kružnice v rovině  $(y, z)$  je elipsa, hlavní osa  $AB \perp x$  ( $AB \parallel YZ$ ),  $|AB| = K2\bar{r}$ , vedlejší vrchol  $C$ :  $CA \parallel z, CS \perp AB$ .



$$SA = K \bar{r} !!!!!$$

Obr.5.21

$$K = \sqrt{3/2} = 1.2$$

### 5.16 Úloha

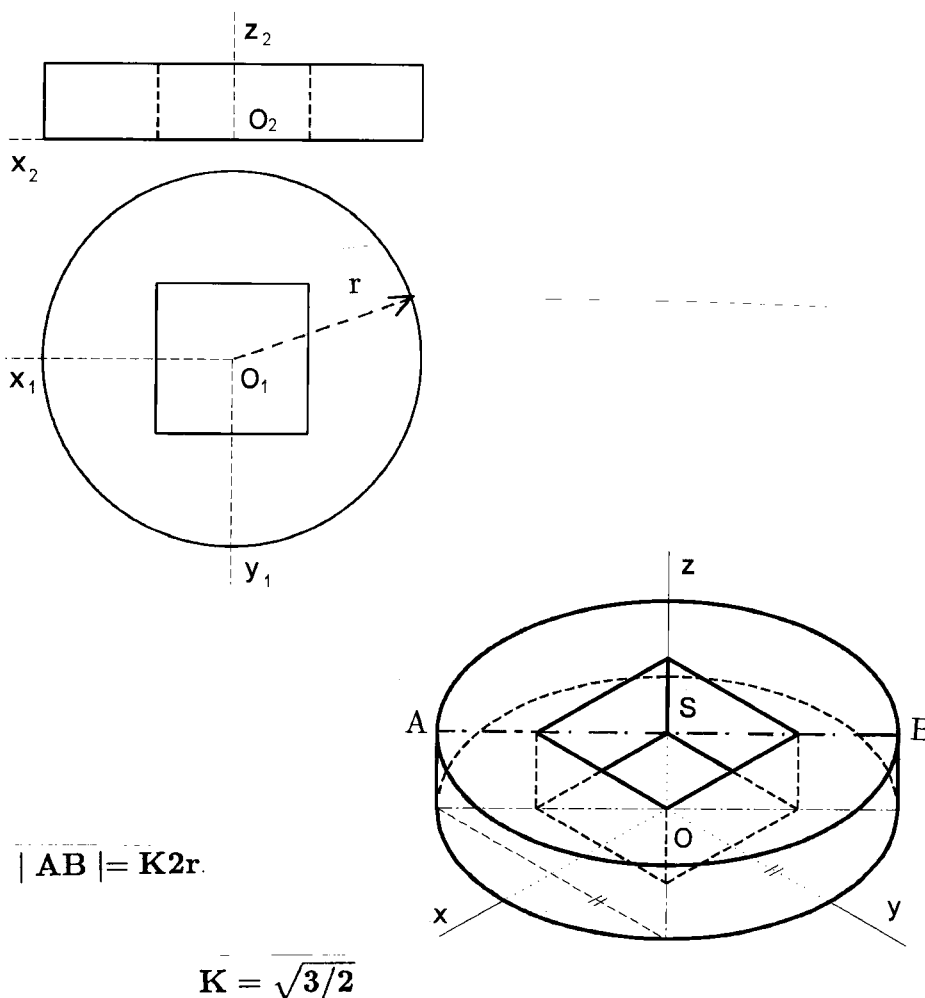
V **technické isometrii**, dané osovým křížem  $O; x, y, z, \varphi = \psi = \omega = 120^\circ$ , zobrazte objekt daný sdruženými průměty, obr.5.22.

Řešení, viz obr.5.22.

Objekt se skládá z válce a "díry" ve tvaru kvádru. Zmíněná tělesa zobrazíme snadno, použijeme-li modifikované kroky 1) a 3) z řešení úlohy 5.13.

**Uvědomte si:** a) Hrany kvádru jsou rovnoběžné s osami souřadnic, zobrazí se tedy ve skutečné velikosti a totéž platí pro výšku válce.

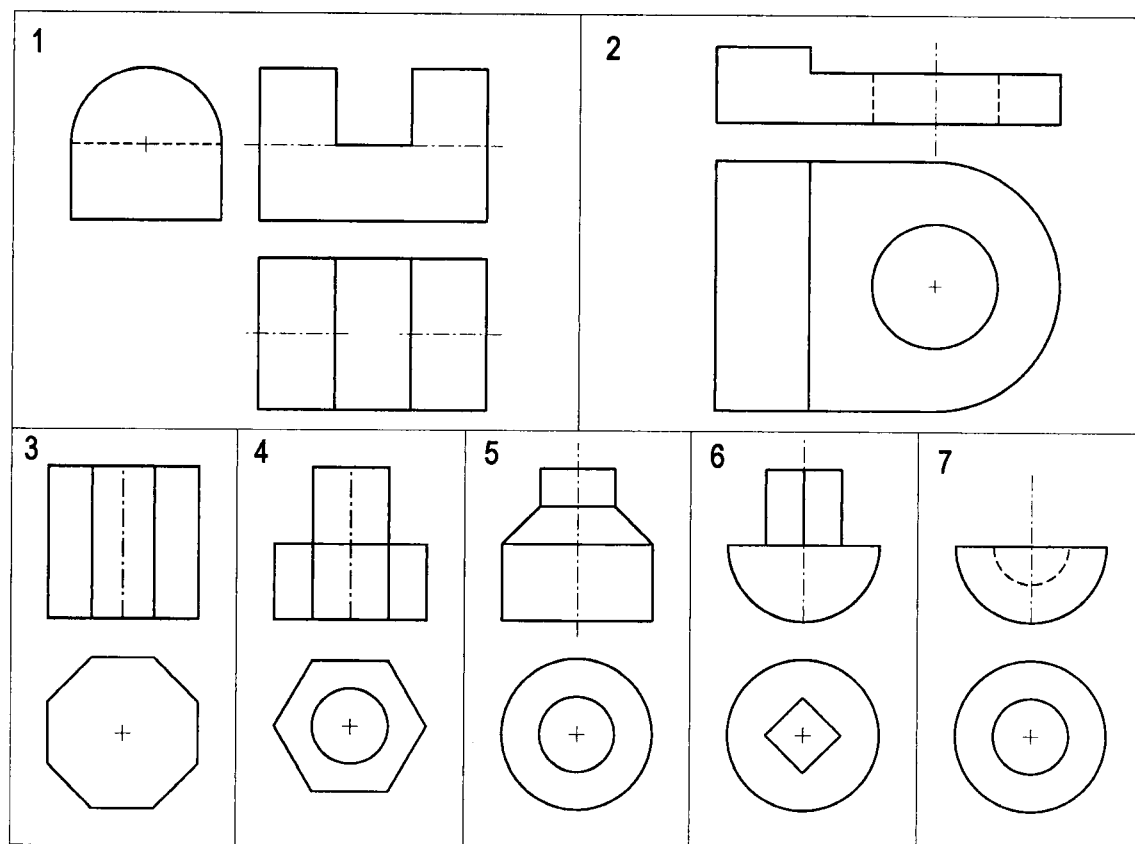
b) Podstavné kružnice válce se zobrazí jako elipsy, pro hlavní osu  $AB$  horní elipsy platí  $AB \perp z, |AB| = K \cdot 2r$ .



Obr.5.22

### Cvičení

V technické isometrii zobrazte objekty dané sruženými průměty, viz obr.5.23 .



Obr.5.23